

Struttura degli idrossidi ed idrati

Nota IV. Sul perossido di stronzio ottoidrato

DALLA GAZZETTA CHIMICA ITALIANA, VOL. 62. FASC. VI.

ROMA

ASSOCIAZIONE ITALIANA DI CHIMICA VIA QUATTRO NOVEMBRE, 154 1932 - X

NATTA G. — Struttura degli idrossidi ed idrati. – Nota IV. Sul perossido di stronzio ottoidrato.

In precedenti lavori sugli ossidi ed idrati (¹) avevo discusso la struttura dell' idrossido di stronzio ottoidrato ed accennato alla probabile struttura del perossido, pure ottoidrato, che si ottiene per precipitazione dalle soluzioni di idrato di stronzio con acqua ossigenata.

Ho ripreso ora l'esame del perossido per tentare di stabilire col calcolo del fattore di struttura la esatta posizione degli atomi nel reticolo cristallino. Tale studio non appare privo di interesse dato che di nessun perossido e di nessun altro ottoidrato (al di fuori di quello dell'idrossido di stronzio da me esaminato) è conosciuta la struttura reticolare.

Appare sopratutto interessante il poter stabilire se in un perossido i due atomi di ossigeno occupano nel reticolo posizioni equivalenti rispetto all'ione metallico e quale diametro essi posseggono. Da questo ultimo punto di vista però l'esame del perossido di stronzio ottoidrato non ha potuto fornire, per il notevole volume della cella elementare e l'incertezza dei parametri, dati così sicuri quali potrebbe invece fornire l'esame di perossidi anidri. Purtroppo però l'esame röntgenografico, eseguito col metodo delle polveri, non ci ha permesso sinora di stabilire la

⁽¹⁾ G. Natta, questa Gazzetta 58, 870 (1928); Atti III Congresso Naz. Chim. Pura, Appl., 347 (1929).

struttura di nessuno dei perossidi anidri di metalli alcalini o alcalinoterrosi, per la complessità dei fotogrammi ottenuti.

Cionondimeno dall'esame del perossido ottoidrato si sono potute determinare la posizione dell'ossigeno del perossido e con sicurezza ancora maggiore la disposizione delle molecole di acqua coordinate rispetto all'ione metallico.

ESAME COL METODO DELLE POLVERI DEL COMPOSTO SrO₂.8H₂O.

Il perossido di stronzio ottoidrato ottenuto per precipitazione da una soluzione di idrossido di stronzio con acqua ossigenata è stato pressato su piastra di porcellana e tenuto breve tempo in essicatore a cloruro di calcio. L'analisi ha fornito un rapporto tra ossigeno attivo e stronzio leggermente superiore al teorico e precisamente di 1,06. I fotogrammi, ottenuti col metodo delle polveri, sono stati eseguiti con anticatodo di ferro e di rame ed il preparato è stato, per evitare l'alterazione, mantenuto durante l'esame in tubetto di carta bakelizzata. Praticamente tutte le numerose linee dei fotogrammi si ordinano nel diagramma di Hull nel sistema tetragonale per un rapporto assiale c/a=0,88. Non si ordinano una linea media debole (corrispondente ad un d=3,795), una debole (d=2,953) ed una debolissima (d=2,572).

I risultati del calcolo di un fotogramma ottenuto con anticatodo di ferro sono raccolti nella tabella I.

Risulta un lato a della cella elementare di 6,32 Å, una altezza c di 5,56 Å. Il volume della cella elementare risulta 222.10^{-24} cc. Ammettendo che la cella elementare contenga una molecola ${\rm SrO_2.8H_2O}$, si calcola una densità di 1,96.

Il volume molecolare del perossido risulta così un poco minore e la densità un poco maggiore di quella dell'idrossido di stronzio ottoidrato, che come abbiamo già visto possiede costanti reticolari abbastanza vicine. Le costanti röntgenografiche dei due composti sono raccolte nella seguente tabellina:

	a c		cla	v	d
Sr(OH) ₂ .8H ₂ O SrO ₂ .8H ₂ O	6,41	5,80	0,906	238	1,84
	6,31	5,56	0,88	222	1,96

Questa contrazione del volume molecolare era prevedibile in quanto l'ossidrile occupa un volume nei reticoli di circa 16.10 ²⁴ cc. (²), mentre l'ione ossigeno bivalente occupa un volume un poco minore (circa 12.10 ²⁴ cc.) ed un volume ancora più piccolo possiede l'atomo di ossigeno neutro.

DISCUSSIONE DEL GRUPPO SPAZIALE E DELLA STRUTTURA DEL PEROSSIDO DI STRONZIO OTTOIDRATO.

Mentre per l'idrossido di stronzio ottoidrato si erano potuti esaminare anche fotogrammi di Laue e del cristallo rotante, per determinare la struttura del perossido ottoidrato possiamo basarci solo sui fotogrammi delle polveri. Pur presentando una determinazione di struttura basata solo su questo metodo maggiori incertezze, riteniamo che in questo caso particolare, dato che la cella elementare contiene una sola molecola, i risultati ottenuti siano sufficientemente attendibili.

Tra i numerosi gruppi spaziali possibili possiamo fare una prima importante limitazione osservando che nessun tipo di faccie manca nei fotogrammi. L'assenza di riflessioni corrispondenti alle faccie (200) e (120) mentre sono presenti le (100), (001), (110), (101), (111), (201) si deve attribuire solo a casuali bassi valori del fattore di struttura ed alla scarsa sensibilità del metodo delle polveri.

Risultano allora ancora possibili i seguenti gruppi spaziali: D_4' , C_4v' , Bd', C_4h' , D_4h' .

Osserviamo subito che mentre per il gruppo spaziale D₄h' la posizione delle otto molecole di acqua presenta 2 gradi di libertà e risulta determinata da due parametri u e v, per gli altri gruppi spaziali la posizione degli 8 punti equivalenti presenta tre gradi di libertà e dipende perciò da tre parametri.

Abbiamo perciò in un primo tempo limitato le ricerche di struttura al gruppo spaziale D₄h'. Avendo trovato sufficiente accordo tra intensità calcolate e sperimentali per particolari ed attendibili valori del parametro abbiamo ritenuto superfluo l'esame delle altre possibilità di struttura, corrispondenti agli altri gruppi spaziali, che, per la varietà dei parametri, sarebbe risultato d'altronde laboriosissimo.

Secondo il gruppo spaziale D_4h' appaiono le seguenti possibilità: per l'ione Sr^{++} (0 0 0), per i due atomi di ossigeno del perossido:

a)
$$\frac{1}{2}$$
 0 0; $0 \frac{1}{2}$ 0
b) $\frac{1}{2}$ 0 $\frac{1}{2}$; $0 \frac{1}{2}$ $\frac{1}{2}$
c) 0 0 u; 0 0 \bar{u}
d) $\frac{1}{2}$ $\frac{1}{2}$ u; $\frac{1}{2}$ \bar{u}

Sono inoltre possibili, supponendo i due atomi di ossigeno non equivalenti, le posizioni:

Per gli otto atomi di ossigeno delle molecole di acqua di cristallizzazione, supposti equivalenti, sono possibili le seguenti posizioni:

Trascuriamo l'idrogeno la cui posizione non è determinabile non influendo sulle intensità röntgenografiche.

Di fronte ad una così grande varietà di strutture possibili (anche senza tener conto di quelle che corrispondono agli altri gruppi spaziali a più bassa simmetria che ammettono 3 parametri per gli otto atomi di ossigeno dell'acqua) può sembrare eccessivamente laborioso, tenuto conto della variabilità dei parametri, e sproporzionato agli scopi, un calcolo sistematico delle intensità per tutte le strutture possibili onde giungere alla identificazione di quelle vere.

Per fortuna vengono in nostro aiuto da un lato le analogie geometriche nella forma e dimensione delle celle elementari del perossido e dell'idrossido ottoidrati, che devono corrispondere ad una analogia di struttura interna, dall'altro le dimensioni note degli ioni ossigeno e stronzio, che permettono di escludere quelle strutture, che, pur risultando possibili in base alle sole condizioni di simmetria, portano a delle pessime utilizzazioni dello spazio reticolare.

Per le otto molecole d'acqua sono così da escludersi le disposizioni D) e E) che corrispondono a distribuzioni di tutti gli otto atomi di ossigeno in un solo piano. Essendo il raggio dell'ione ossigeno circa eguale a 1,30-1,35 Å (³), si vede che anche nel caso più favorevole (u=0,147, v=0,353) non sarebbero possibili queste distribuzioni che per un raggio dell'ossigeno di 0,92 A. Anche da un confronto sommario delle intensità calcolate per u=0,147 e v=0,353 si notano delle differenze notevoli rispetto le intensità osservate, che confermano l'inammissibilità delle disposizioni D) ed E), che corrisponderebbero rispettivamente a numeri di coordinazione 8 e 16.

La distribuzione B), che corrisponde ad un numero di coordinazione 8, appare già più verosimile delle precedenti per quanto l'utilizzazione dello spazio reticolare non risulti ottima. Dalle dimensioni dell'ione ossigeno possono solo ammettersi valori di u vicini a 0,29 e di v compresi 0,24 e 0,26. La distanza però tra ossigeno e stronzio risulta inferiore a 2.34 Å mentre dai raggi noti dei due ioni dovrebbe risultare di 2,59. Tale contrazione della somma dei raggi ionici potrebbe anche essere ammissibile. E' per questo che abbiamo effettuato il calcolo del fattore di struttura per la maggior parte delle faccie ed abbiamo paragonato le intensità calcolate con quelle osservate. Le intensità calcolate risulterebbero abbastanza soddisfacenti ammettendo per gli ossigeni del perossido la disposizione c), ma vedremo in seguito che per la disposizione A) e per adatti valori dei parametri u e v si hanno accordi migliori. Infatti secondo la struttura B), oltre che osservarsi un valore del fattore di struttura troppo basso per la linea (001) (forte), anomalia che ritroveremo anche in seguito per le altre ipotesi, si osserva un fattore di struttura troppo basso per la (202) (fortissima) e per la (114) (debole) e troppo alto per la (220) (linea medioforte) e per la (400) (debole).

L'ipotesi C), che corrisponde ad un numero di coordinazione 16, si lascia ricondurre a quella B) per una traslazione dell'origine degli assi di riferimento di $^1/_2$ $^1/_2$ Non risultano perciò compatibili con le note dimensioni dell'ione ossigeno che i parametri $u=0,21+^1/_2$ e $v=^1/_2+0,26$. Si può facilmente quindi calcolare i fattori di struttura ammettendo per gli 8 ossigeni dell'acqua quelli calcolati precedentemente e facendo subire all'ossigeno del perossido ed all'ione stronzio una traslazione di $^1/_2$ $^1/_2$. Si osservano quindi le stesse anomalie osservate per l'ipotesi B) per le faccie aventi la somma degli indici pari, per di più si ritrova un fattore di struttura fortissimo per la linea (120), che invece non compare nei fotogrammi.

Non riportiamo per brevità le intensità calcolate per le ipotesi B) e

⁽³⁾ J. A. VASASTJERNA, Soc. Scient. Fenn. Comm. Phys. Math. I., 38, 22 (1923); G. Goldschmidt, Geochemiche Verteilungsges. d. Elem. Norska Vid. Akad. Oslo, VII (1926).

C), per quanto l'accordo con le intensità sperimentali sia discreto, perchè si osservano accordi ancora migliori per la ipotesi seguente.

Rimane infatti ancora da discutere la ipotesi A), che già a priori appare come la più probabile. Essa corrisponde, a parte i valori dei parametri, a quella trovata per l'idrossido di stronzio idrato. E' compatibile entro un largo intervallo di u (da 0,20 a 0,30 circa) e per valori di v non troppo diversi da 0,25 con le dimensioni note dell'ione ossigeno bivalente e dell'ione stronzio. Per tale ragione abbiamo determinato il fattore di struttura per circa una quarantina di faccie del fotogramma (includendo le linee 200 e 120 che non compaiono nei fotogrammi). Non sono stati calcolati i fattori di struttura per le ultime faccie perchè risultano di scarsa utilità, date le numerose sovrapposizioni di riflessioni dovute a faccie ad indici diversi e la difficile stima delle intensità sperimentali.

Nella tabella II sono calcolate le intensità mediante la formula:

$$I = \frac{n}{\sqrt{h^2 + k^2 + l^2 \cdot a^2/c^2}} S$$

dove S è il fattore di struttura ed n è il numero dei piani cooperanti.

S è stato calcolato per diversi valori dei parametri e precisamente per valori di u compresi tra 0,20 e 0,30 e di v tra 0,20 e 0,25. Si osserva il miglior accordo tra intensità sperimentali e calcolate per u=0,20 e v=0,25. Per l'ossigeno del perossido sono state prese in considerazione nel calcolo delle intensità diverse ipotesi. I valori delle colonne 3-7 della tabella II corrispondono alla ipotesi g) secondo la quale i due atomi di ossigeno non sono equivalenti. (Nel calcolo del fattore di struttura si è tenuto come ionico ossia con 10 elettroni extranucleari l'ossigeno in posizione $^{1}/_{2}$ $^{1}/_{2}$ 0 e come neutro, ossia con 8 elettroni, quello in $^{1}/_{2}$ $^{1}/_{2}$ $^{1}/_{2}$ $^{1}/_{2}$ $^{1}/_{2}$ $^{1}/_{2}$ 0 e come neutro, ossia con 8 elettroni, quello in $^{1}/_{2}$

I valori delle colonne 8-12 sono stati calcolati secondo la ipotesi a):

$$\frac{1}{2}$$
 0 0; 0 $\frac{1}{2}$ 0

secondo la quale i due atomi di ossigeno del perossido sono equivalenti. Si è considerato nel calcolo del fattore di struttura che ciascuno di essi possegga un numero di elettroni extranucleari eguale a 9.

Si è scartata la ipotesi c): $(0\ 0\ u)$; $(0\ 0\ u)$, perchè dato il raggio di 1,27 per l'ione stronzio, non rimane per la somma dei diametri dei due atomi di ossigeno che uno spazio di 3,00 \AA circa, a cui corrisponde un raggio dell'ossigeno di 0,75 \AA , ossia di poco superiore alla metà di quello che compete all'ione ossigeno bivalente. A parte questo gli unici valori di u ammissibili maggiori di 0,35 portano a valori del fattore di struttura

per la faccia (0 0 1) molto più bassi che per le altre ipotesi, mentre questa faccia risulta forte nei fotogrammi.

L'ipotesi b) è stata scartata per la stessa ragione perchè porta a valori del fattore di struttura troppo bassi per la (001) (forte) e troppo alti per la (111) (media) e bassissimi per la (112) che appare invece forte. Analogamente è stata scartata la ipotesi b) per il basso valore del fattore di struttura per la (001) e per quello troppo alto per la (200), faccia che non appare nei fotogrammi.

L'ipotesi f) porta, per il maggior numero delle faccie, gli stessi fattori di struttura della ipotesi g), quindi le stesse argomentazioni, che porteremo per escludere la struttura g), sono estensibili a quella f), con l'aggravante che la divergenza tra intensità calcolata e quella sperimentale per le linee (100) e (001) resta per la struttura f) notevolmente peggiorata.

Dalla tabella II, in cui, come abbiamo accennato, sono paragonate le intensità calcolate con quelle sperimentali per le ipotesi a) e g) per l'ossigeno del perossido e per quella A) per l'ossigeno dell'acqua, si osserva un accordo migliore per l'ipotesi g) e per valori di u vicini a 0,20 e di v vicini a 0,25. Infatti per tali valori di u e v non si osservano per l'ipotesi g) delle anomalie rimarchevoli che per le faccie (001), (131), (303), (004), (313), (104), (231) e per il resto l'accordo è soddisfacente. Per la ipotesi a) si hanno discrepanze maggiori nella (111), (231), (120) analoghe per le (303)-(004), (313)-(104) e sopratutto notevoli per la (112) e (123), per quanto per la (001) l'accordo sia migliore che nel caso precedente.

Resterebbe perciò da preferirsi la ipotesi g) per quanto l'accordo non sia ancora perfetto, sopratutto per il basso valore del fattore di struttura della (001). Tale divergenza può solo essere ridotta se si ammettono delle posizioni dell'ossigeno del perossido molto vicine alla base. Questa condizione si verifica per l'ipotesi a), che però non soddisfa, come abbiamo visto, per altre faccie, e si può verificare per l'ultima ipotesi che dobbiamo ancora discutere ossia per l'ipotesi d): $\binom{1}{2}$ $\binom{1}{$

Nella tabella III sono appunto calcolate le intensità per le ipotesi A) e d) per u=0,20, v=0,20 e 0,25, u'=0,10, per l'ipotesi A) e g) e per quella A) e a) per u=0,20 e v=0,25.

Si ha per l'ipotesi A) e d) e per u=0,20, v=0,25, u'=0,10 il miglior accordo sinora riscontrato. Resta ancora un fattore di struttura un poco debole per la (001) e per la (112), ma per le restanti linee l'accordo è soddisfacente. Per valori di u' maggiori si hanno accordi peggiori: ad es. per u=0,15-0,18 la (112) assume un fattore di struttura eccessivamente basso ed anche la (001) peggiora.

I nostri dati sperimentali basati solo sui fotogrammi delle polveri non permettono una determinazione più accurata dei parametri. Le intensità sperimentali indicate corrispondono alla media di due fotogrammi, uno ottenuto con anticatodo di ferro l'altro con anticatodo di rame.

RELAZIONI TRA LE STRUTTURE DEL PEROSSIDO E DELL'IDROSSIDO DI STRONZIO OTTOIDRATO.

Dalle precedenti considerazioni risulta quindi come struttura più probabile del perossido quella rappresentata in fig. 1, corrispondente al gruppo spaziale D_4h' , ed alle seguenti posizioni dell'ossigeno dell'ossidrile: $\binom{1}{2}\binom{1}{2}u'$, $\binom{1}{2}\binom{1}{2}u'$ per u' vicino a 0,10 e da quelle dell'ossigeno dell'acqua di coordinazione:

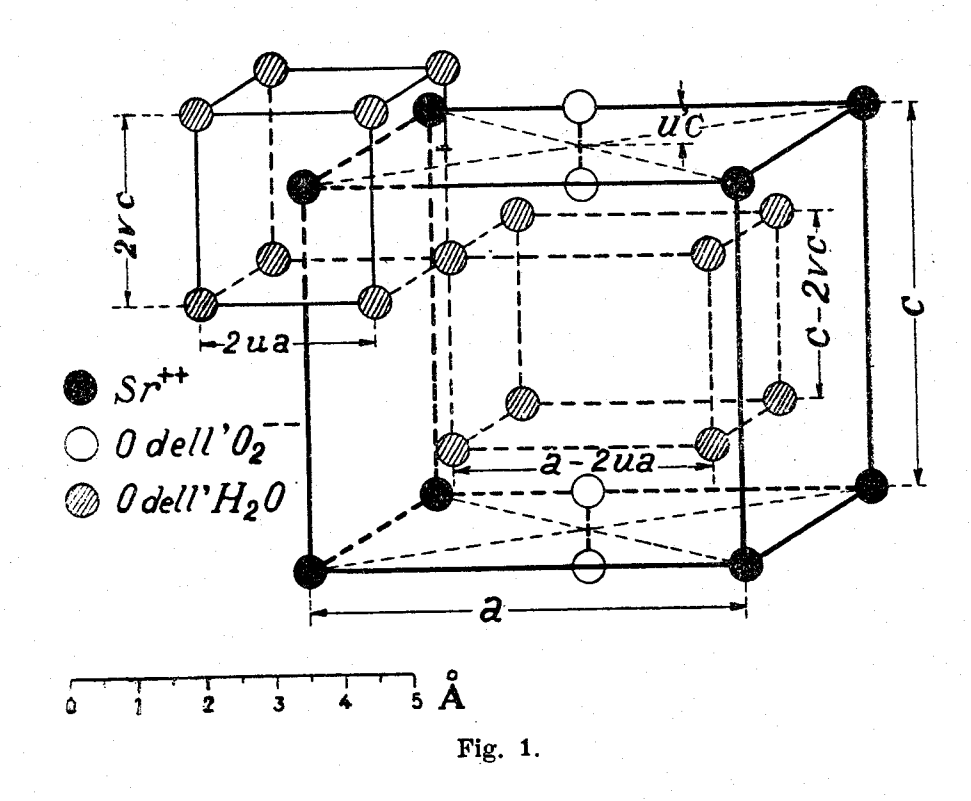
per valori di u vicini a 0,20 e di v vicini a 0,25.

Risulta da ciò che il perossido di stronzio ottoidrato non possiede soltanto una cella elementare di dimensioni analoghe a quella dell'idrossido, ma possiede pure una struttura molto simile appartenendo anch'esso allo stesso gruppo spaziale D_4h' . Le posizioni dell'ione stronzio e delle 8 molecole di acqua di cristallizzazione si corrispondono perfettamente, a parte le piccole divergenze nei valori dei parametri. Appare solo diversa la posizione dell'ossidrile nell'idrossido rispetto a quella dell'ossigeno del perossido. Tale diversità giustifica pienamente lo spostamento del parametro u (più piccolo nel perossido che nell'idrossido).

I valori di u e di v calcolati accordano pienamente anche con le dimensioni note dell'ione ossigeno e di quello stronzio bivalente. Infatti dalle distanze minime tra atomi di ossigeno dell'acqua di cristallizzazione si calcolano dei raggi per l'ione ossigeno bivalente di 1,33 Å per l'idrossido e di 1,26 (orizzontalmente) e 1,39 (verticalmente) per il perossido. Per u=0,21 e v=0,24 si calcola in entrambi le direzioni un raggio eguale al teorico 1,32 Å.

La distanza Sr—O risulta di 3,17 per l'idrossido e di circa 2,30 A per il perossido. Si nota una certa contrazione della distanza Sr—O, rispetto a quella che risulterebbe dalla somma dei raggi noti degli ioni. Tale contrazione, che si ritrova pure in certi ioni complessi ad es. negli esacloroplatinati, stannati, ecc. è caratteristica per essi e conferma la analogia tra idrati e complessi in genere. E' interessante notare la grande

vicinanza tra i due atomi di ossigeno del perossido. Per u'=0,10 tale distanza è minore di 1,20 A, ed inferiore quindi alla somma dei raggi degli atomi di ossigeno neutri.



Questo forte ravvicinamento degli atomi ossigeno per formare un ione bivalente costituito da due atomi vicini riteniamo debba essere caratteristico dei perossidi. Anche per altri ioni costituiti da due atomi, come ad es. per il cianidrico, o di 3 atomi, come l'ione azotidrico, si osservano delle distanze tra i centri degli atomi costituenti l'ione negativo minori della somma dei raggi noti per i corrispondenti atomi neutri allo stato libero. Dalla distanza tra l'ossigeno del perossido e gli altri atomi ad esso vicini si osserva che l'ione bivalente O_2 — deve possedere dimensioni maggiori di quelle che risulterebbero dalla tangenza dei due atomi di ossigeno, ammessi sferici. L'elevato diametro dell' ione O_2 —, malgrado la notevole vicinanza dei due nuclei di ossigeno, si può spiegare ammettendo che i due elettroni di valenza avvolgano colle loro orbite entrambi i nuclei dei due atomi di ossigeno dell'ione O_2 —. Una analoga interpretazione era stata data nello studio dei cianuri per la struttura dell'ione cianogeno (4).

⁽⁴⁾ G. Natta e L. Passerini, questa Gazzetta 61, 191 (1931).

TABELLA I.

SrO₂.8H₂O Fe/ant.

$sen\theta/2$	Int.	d	h k l	a	$\operatorname{sen}^{\theta/2}$	Int.	d	h k l	a
0,1629		5,840	100	5,84	0,7173	md	1,349	104	6,27
0,1833	f	5,275	002	5,99	0.7224			₹ 313	6,28
0,2278	md	4,246	110	6,00	0,7331	d	1,320	114	6,28
0,2377	md	4,071	101	6,16	0,7652	md	1,264	233	6,27 6,28
0,2841	mf	3,405	111	6,18	0.7000			, (431)	(6,24)
0,2572	m	2,708	{ 002 201	6,16 6,23	0,7800	md	1,240	124	6,28
0,3868	mf	2,501	102	6,22 6,27	0,8058	dd	1,201	{ 511 403	6,27 6,30
0,4161	f	2,325	112	6,23	0,8226	đ	1,176	143	6,29 6,30
0,4372	m	2,213	220	6,26	0,8363	đ	1,157	304	6,30 6,30
0,4695	ff	2,060	202 221	6,24 6,28	0,8498	đ	1,138	134	6,30
0,4950	ff	1,954	122 301	6,23 6,27	0,8698	dd	1,112	440 005	6,29 6,30
0,5189	md	1,864	131	6,26	0,8829	dd	1,096	105	6,30
0,5276	dd	1,834	003	6,25	0,8885	d	1,089	324	6,32
0,5530	mf	1,749	103 320	6,26 6,30	0,9272	d		(205	6,31
0,5593	dd :	1,730	222	6,27	0,0212	u	1,044	503 404	6,32 6,32
0,5714	d	1,693	113	6,25	0.000	_		432	6,32
0,5797	đđ	1,669	302 231	6,28 6,30	0,9338	đ	1,036	215 601	6,32 6,33
0,6136	đ	1,576	400	6,30	0,9402	đ	1,029	513 414	6,31 6,31
0,6294	f	1,537	123 410	6,27 6,33					
0,6979	. md	1,386	004 303	6,30 6,30					

454

TABELLA II.

	T4	$J=rac{n}{\sqrt{Q}}\sum_{1}^{n}N_{s}\;e^{-2\pi i(hx_{s}+ky_{s}+lz_{s})}$										
hkl	Int. osser-								[potesi a			
	vata	u=0.20 v=0.25	u=0.20 v=0.25	$u=0.25 \\ v=0.20$	u=0.30 v=0.20	$u=0.30 \\ v=0.25$	u=0.20 v=0.20	u=0.20 v=0.25	u=0.25 v=0.20	u=0.30 v=0.20	u=0.30 v=0.25	
100	m	171	171	72	27	27	242	171	144	45	45	
001	f	111	67	111	111	67	140	95	140	139	95	
101	mđ	220	190	180	139	190	230	180	190	150	180	
110	md	174	174	153	174	175	72	72	51	72	72	
111	mf	178	154	154	178	154	90	79	79	90	7 9	
200	_	26	26	52	21	97	26	26	52	21	97	
120	_	7	7	64	136	136	57	57	129	207	200	
201	mf	62	132 23	46 11	62 11	132 21	118 11	187 23	102 11	118	187 21	
$\{121 \\ 102\}$		177	217 22	217 58	256 . 122	217 136	190 14	230 36	230 115	269 179	230 194	
112	f	143	138	161	143	139	35	30	54	35	34	
220	m	111	111	189	150	150	111	111	189	150	150	
202 221	ff	256	314 105	314 165	281 142	314 105	256 184	314 142	314 206	281 184	314 142	
122 301	ff	173	190 90	90 90	9 140	10 90	262 40	291 90	181 90	99 140	90	
131	md	132	162	162	132	162	56	86	86	56	86	
003	dd	16	22	22	15	22	6	32	32	6	32	
320 103	mf	157 31	157 77	40 77	77 122	77	157	157 41	40 41	77 85	41	
222	dd	26	47	32	26	26	26	47	32	26	26	
113	đ	69	82	82	69	82	26		39		39	
231	dd	211	143	144	75	143	85		152		152	
400	dd	79	79	134	79	79	79	İ	134		79	
123	f	196	139	133	70	Ì	1		71 35	1	5	
004 303		35 157	59 63	35 65	29	67	156	63	63	29	6	
313 104		{ 179 89	124 146						124	132	4	
114	dd	95	104	1	1	į.	·		-			
204 233	} md	55 32	192 116			116	26	5 58	58	3 194	. 5	
124 431		37 93	132		37 112					94		

TABELLA III.

		Intensità calcolata							
hkl	Intensità	Ipotesi	Aed	Ipotesi A e g	Ipotesi A e a				
	osservata	u = 0.20 v = 0.25 u = 0.10	$egin{array}{l} u = 0.20 \\ v = 0.20 \\ u = 0.13 \end{array}$	u = 0.20 v = 0.25	u = 0.20 $v = 0.20$				
					<u> </u>				
100	m	242	242	171	171				
001	f	89	133	67	95				
101	mđ	114	154	190	180				
110	md	123	123	174	72				
111	mf	205	214	154	79				
200	-	22	2 2	26	26				
120	·	7	7	7	57				
201	mf {	175 11	105 38	132 23	187 23				
$\begin{array}{c} 1 & 2 & 1 \\ 1 & 0 & 2 \end{array} $	mf {	138 18	98 3 3	217 22	230 36				
112	f	110	106	138	30				
220	m	111 •	111	111	111				
300		61	61	61	3 8				
202	tt }	282 132	248 174	314 105	314 142				
$\begin{pmatrix} 1 & 3 & 0 \\ 1 & 2 & 2 \\ 3 & 0 & 1 \end{pmatrix}$	ff	91 252 54	91 232 4	91 190 90	4 291 90				
131	md	245	213	162	86				
003	đđ	18	20	22	32				
320 103 }	mf {	157 128	15 7 49	157 77	157 41				
222	dd	37	1	47	47				
113	d	66	53	82	39				
231	đđ	91	158	147	152				
400	dd	79	79	79	79				
123 }	f {	163	224	139	71				
330	· ·	49	49	49	84				
401	đ	101 97	101	101	67				
004		48	112 20	84 50	119				
303	md	74	82	59 63	59 63				
313	md {	105 159	160 200	124 146	62 208				
114	dd	49	40	104	43				
204 233 }	md {	69 134	3 46	192 116	192 54				
124 431 }	md }	98 68	140 48	7 132	51 112				

RIASSUNTO.

Dall'esame röntgenografico col metodo delle polveri risulta che il perossido di stronzio ottoidrato $SrO_2(8H_2O)$ cristallizza nel sistema tetragonale con un rapporto assiale c/a=0.88.

La cella elementare, contenente una sola molecola, ha le seguenti dimensioni: a=6,32 A, c=5,56 A.

Il perossido di stronzio ottoidrato, analogamente all'idrossido pure ottoidrato, appartiene al gruppo spaziale D_4h' . La sua struttura risulta definita dalle seguenti coordinate: per l'ione Sr-- (000); per l'ossigeno del perossido:

$$\frac{1}{1}/_{2}$$
 $\frac{1}{2}$ $\frac{1}{2}$ $\frac{1}{2}$ $\frac{1}{2}$ $\frac{1}{2}$

per gli ioni O-- dell'acqua di cristallizzazione:

corrispondenti ad un numero di coordinazione 8 rispetto al catione coordinante.

I migliori accordi tra l'intensità calcolate e quelle sperimentali si hanno per valori dei parametri vicini ai seguenti: u'=0,10; u=0,20; v=0,25.

Dalle tangenze degli atomi di ossigeno delle 8 molecole di acqua coordinate allo stesso ione metallico si conferma un raggio dell'ione ossigeno bivalente di circa 1,30 A. I nuclei dei due atomi di ossigeno dell'ione O_2 — del perossido risultano invece fortemente avvicinati, più di quanto corrisponderebbe al diametro dell'atomo neutro di ossigeno, analogamente a quanto era stato osservato per altri ioni composti, quali il CN— (5).

Milano. — Laboratorio di Chimica Generale del R. Politecnico. Gennaio 1932-X.

(5) G. NATTA e L. PASSERINI, loc. cit.